



БИООРГАНИЧЕСКАЯ ХИМИЯ

том 13 * № 1 * 1987

УДК 577.152.361*3:577.112.5

ПЕРВИЧНАЯ СТРУКТУРА α -СУБЪЕДИНИЦЫ Na^+, K^+ -АТР-азы ПОЧЕК СВИНЫ

III *. ОПРЕДЕЛЕНИЕ ПОЛНОЙ НУКЛЕОТИДНОЙ ПОСЛЕДОВАТЕЛЬНОСТИ,
СООТВЕТСТВУЮЩЕЙ СТРУКТУРНОЙ ЧАСТИ ГЕНА

*Монастырская Г.С., Броуде Н.Е., Мелков А.М.,
Смирнов Ю.В., Малышев И.В., Арсенян С.Г.,
Саломатина И.С., Свердлов В.Е., Гришин А.В.,
Петрухин К.Е., Модянов Н.Н.*

*Институт биоорганической химии им. М.М. Шемякина
Академии наук СССР, Москва*

Определена нуклеотидная последовательность кДНК, соответствующей транслируемой области мРНК α -субъединицы Na^+, K^+ -АТР-азы почек свиньи. Эта область содержит 3063 п.о. и кодирует блок, состоящий из 1021 аминокислотного остатка. В результате процессинга с N-конца отщепляется пять аминокислотных остатков. Таким образом, процессированная α -субъединица Na^+, K^+ -АТР-азы содержит 1016 аминокислот.

В предыдущих сообщениях этой серии [1, 2] были опубликованы данные структурного анализа гидрофильных пептидов, полученных в результате ограниченного триптического гидролиза α -субъединицы Na^+, K^+ -АТР-азы (КФ 3.6.1.3) в составе мембраносвязанного фермента, а также описан процесс выделения, обратной транскрипции и клонирования матричной РНК, кодирующей α -субъединицу Na^+, K^+ -АТР-азы.

Настоящая работа посвящена определению полной нуклеотидной последовательности, соответствующей структурной части гена.

Выделение плазмидной ДНК, ее анализ и переклонирование в фаговый вектор

Скрининг библиотеки клонов ($2 \cdot 10^5$ независимых клонов) с помощью специфического зонда, синтезированного в соответствии со структурой пептида [2], позволил выявить около 50 клонов, дающих положительный сигнал гибридизации [1]. Для их дальнейшего анализа проводили выделение плазмидной ДНК по методу Бирнбайма и Доли [3]. Выход материала, который дает метод, и степень его чистоты достаточны для того, чтобы использовать рекомбинантную плазмидную ДНК в последующих энзиматических реакциях.

Плазмидную ДНК из 50 отобранных таким образом клонов обрабатывали рестриктазой *PstI* и определяли размер вставок электрофорезом в агарозном геле. Затем, после переноса ДНК на нитроцеллюлозный фильтр, проводили гибридизацию со специфическим зондом. С помощью рестрикционного анализа было показано, что вставки в плазмidaх pB5401, pB2302 и pB2801 имеют наибольшую длину — 1,2; 1,3 и 1,7 тыс. п.о. соответственно. В связи с этим данные плазмиды были выбраны для секвенирования. Была определена нуклеотидная последовательность 9 перекрывающихся фрагментов гена α -субъединицы из различных клонов, сумма которых составляла около 2700 нуклеотидов. Для поиска N- и C-концевых последовательностей кДНК Na^+, K^+ -АТР-азы были синтезированы зонды, соответствующие последовательностям, ближайшим к 3'- и 5'-концам клонов pB5401 и pB2801.

* Сообщение II см. [1].

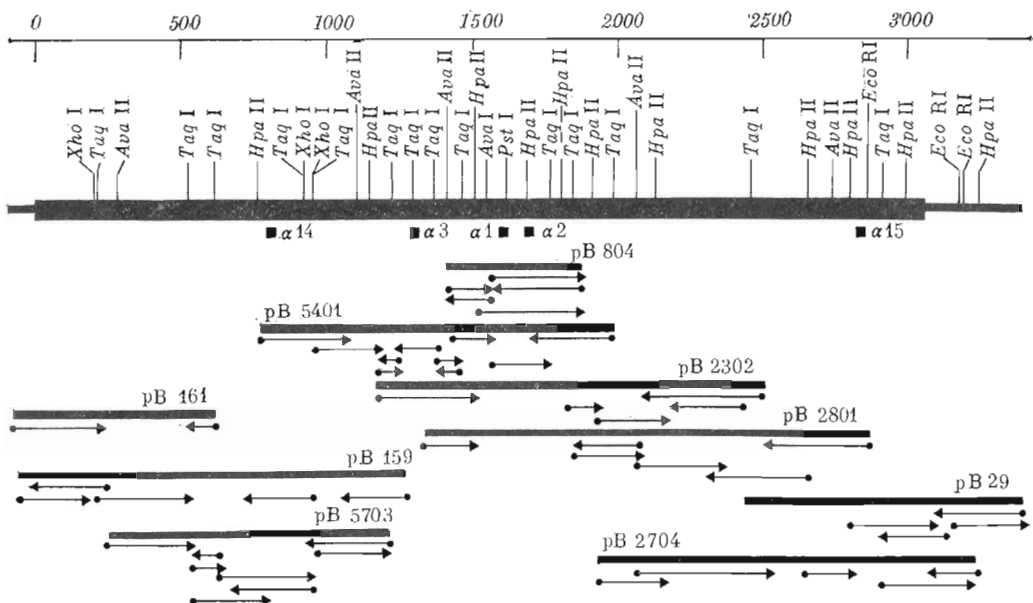


Рис. 1. Стратегия секвенирования и рестрикционная карта структурной части гена, кодирующего α -субъединицу Na^+ , K^+ -АТР-азы свиньи. На рестрикционной карте указаны сайты узнавания только тех рестриктаз, которые использовались для переклонирования в фаговый вектор. Область, соответствующая структурному гену, изображена в виде широкой черной полосы. Под ней квадратами α_1 , α_2 , α_3 , α_{14} и α_{15} обозначены участки, соответствующие специфическим олигонуклеотидным зондам. Сплошными темными линиями под рестрикционной картой ДНК отмечены границы вставок клонов, использованных для установления нуклеотидной последовательности кодирующей области гена α -субъединицы. Стрелками указано направление секвенирования, а также обозначены границы субклонов ДНК в фаговом векторе M13mp8

С помощью этих зондов в библиотеке клонов были найдены еще около 30 позитивно гибридизующихся клонов, из которых для определения нуклеотидной последовательности были отобраны плазмиды pB159, pB161, pB29 и pB2704, содержащие наиболее длинные вставки.

Плазмидная ДНК из отобранных клонов подвергалась рестрикционному анализу для определения возможности переклонирования ее в фаговый вектор, используемый при секвенировании. Анализируемую ДНК обрабатывали рестриктазами, имеющими сайты расщепления в векторах серии mp фага M13. Затем по описанной методике [4] проводилось лигирование репликативной формы векторной ДНК, расщепленной соответствующей рестриктазой, трансфекция клеток *E. coli* и выделение однонитевой фаговой ДНК для последующего секвенирования.

Определение нуклеотидной последовательности

Определение нуклеотидной последовательности проводилось по методу Сенгера [4] и его модификации [5]. На рис. 1 показана стратегия секвенирования.

На рис. 2 приведена полная нуклеотидная последовательность структурной части гена α -субъединицы Na^+ , K^+ -АТР-азы, 3'-нетранслируемая область, включающая сайт полиаденилирования, и часть 5'-нетранслируемой области.

Начало и конец клонов соответствуют следующим координатам в полной структуре (рис. 2): pB804 (1403–1852), pB2302 (1146–2465), pB2801 (1296–2880), pB5401 (723–1946), pB5703 (220–1186), pB159 (–216–1160), pB29 (2432–3405), pB161 (–240–602) и pB2704 (1910–3216). Нуклеотидная последовательность клона pB804 опубликована ранее [6]. Координаты 5'- и 3'-концевых олигонуклеотидных зондов, синтезированных на основе структурных данных клонов pB5401 и pB2801

1-15 AGGACCCGGCGGGACACAG^gCCACGGCACT ATG GGC AAG GGG GTT
 (-5) -(-1) Met-Gly-Lys-Gly-Val-

16-90 GGA CCC GAT AAA TAT GAG CCC GCA GCC GTG TCA GAG CAT GGC GAC AAA AAG AAG GGC AAG GAG AGG GAT ATG
 1-25 Gly-Arg-Asp-Lys-Tyr-Glu-Pro-Ala-Ala-Ser-Glu-His-Gly-Asp-Lys-Lys-Ala-Lys-Asp-Glu-Arg-Asp-Met

91-165 GAT GAG CTG AAG AAG GAA GTT TCT ATG GAT GAC CTT AAA CTT AGC CTT GAT GAG CTT CAT CGC AAA TAC GGA AGC
 26- 50 Asp-Glu-Leu-Lys-Lys-Glu-Val-ser-Wet-Asp-Asp-His-Lys-Ser-Leu-His-Arg-Lys-Tyr-Gly-Thr-
 166-240 GAC TTG AGC CGA GGG TTA ACA CCT GCT CGA GCT GAG ATC CTA GCC CGA GAC GGT CCC AAT GCC CTG ACA CCC
 51- 75 Asp-Leu-Ser-Arg-Gly-Leu-Thr-Pro-Ala-Arg-Ala-Glu-Ile-Leu-Ala-Arg-Asp-Gly-Pro-Asp-Ala-Leu-Thr-Pro-

241-315 CCA CCC ACA ACC CCT GAA TGG GTC AAG TTC TGT CCG CAG CTC TCC GGA GGC TTC ATG TTA CTG TGG ATC GGA
 76-100 Pro-Pro-Thr-Thr-Pro-Glu-Trp-Val-Lys-Phe-lys-Arg-Gln-Leu-Phe-Gly-Phe-Ser-Met-Leu-Trp-Ile-Gly-

316-390 GCG ATT CTT TGT TTC TTG GCC TAT GGC ATT CAA GCT GCT ACA GAA CCT CAA AAT GAT ATT CTG TAC TAC CTT
 101-125 Ala-Ile-Leu-Cys-S-Phe-Leu-Ala-Tyr-Gly-Ile-Gln-Ala-Ala-Thr-Glu-Glu-Pro-Gln-Asn-Asp-Asn-Leu-Tyr-Leu-

391-465 GGT GTG GTG CTC TCC GCC GTC ATC ATA ACT GGC TGT TTC TCC TAC TAT CAA GAA GCG AAA AGC TCA AAG ATC
 126-150 Gly-Val-Val-Leu-Ser-Ala-Val-Ile-Ile-Ile-Thr-Gly-Cys-Phe-Ser-Tyr-Tyr-Gln-Glu-Ala-Lys-Ser-Ser-Lys-Ile-
 466-540 ATG GAA TCC TTC AAA AAC ATG GTT CCT CAG CAA GCC CTC GTG ATT CGA ATT GGT GAA AAG ATG AGC ATA AAT GCA
 151-175 Met-Glu-Ser-Phe-Lys-Asn-Met-Val-Pro-Gln-Gln-Ala-Leu-Val-Ile-Arg-Asn-Lys-Met-Ser-Ile-Asn-Ala-

541-615 GAG GAA GTC GTC GTC GGG GAT CTG GTG GAG GTG GAC AAC TCC GTC AGC CTC AGG ATC ATA TCT
 176-200 Glu-Glu-Val-Val-Gly-Asp-Leu-Val-Glu-Val-Lys-Gly-Asp-Arg-Ile-Pro-Ala-Asp-Leu-Arg-Tle-Ile-Ser-

616-690 GCG AAC GGC TGC TGC GAC AAC TCC TCC CTC ACT GGT GAA TCA GAA CGG CAG ACC AGC TCT CCA GAT TCT ACC
 201-225 Ala-Asp-Gly-Cys-Lys-Yal-Asp-Asn-Ser-Ser-Ser-Leu-Thr-Gly-Glu-Ser-Glu-Pro-Gln-Thr-Arg-Ser-Pro-Asp-Phe-Thr-

691-765 AAT GAG AAC CCC CTG GAG ACT AGG AAC ATC GGC TTT TCA ACC AAC TGC GTT GAA GGC ACT GCA CGT GGT ATT
 226-250 Asn-Glu-Asn-Pro-Leu-Glu-Thr-Arg-Asn-Ile-Ala-Phe-Ser-Thr-Asn-Cys-Val-Glu-Gly-Thr-Ala-Arg-Gly-Ile-

766-840 GTG GTG TAC ACT GGC GAT CGC ACC GTG ATG GGC AGA ATC GCT ACC CTT GCT TCC GGG CTG GAA CGG GGC CAG ACT
 251-275 Val-Val-Tyr-Thr-Gly-Asp-Arg-Thr-Val-Met-Gly-Arg-Ile-Ala-Thr-Leu-Ala-Ser-Gly-Leu-Gly-Gly-Gln-Thr-

841-915 CCC ATC GCT GCG GAG ATT GAA CAT TTT ATC CAC ATC ACG GGC GTG GCC GTG TCC CTC CGC GTG TCC TCC TIC
 276-300 Pro-Ile-Ala-Ala-Glu-Ile-Glu-His-Phe-Ile-His-Ile-Ile-Thr-Gly-Yal-Ala-Vai-Phe-Leu-Gly-Val-Ser-Phe-Ile-
 916-990 ATC CTT TCT CTG ATC CTC GAG TAC ACC TGG CTC GAC GTC ATC TTC CTC ATC GGG ATC ATT GTG GCC AAC GIG
 301-325 Ile-Leu-Ser-Leu-Ile-Leu-Glu-Tyr-Thr-Trp-Leu-Glu-Ala-Val-Ile-Phe-Leu-Ile-Gly-Ile-Asn-Val-
 991-1065 CCT GAA GGT TTG CTG GCC ACC GTC AC GGT TGC TGG ACC CTG ACT GCC TGG ATG GGC TGG AAC TGC CTT
 326- 350 Pro-Glu-Gly-Leu-Leu-Thr-Val-cys-Leu-Thr-Leu-Thr-Asn-Cys-Asn-Cys-Ten-

1066-1140 GTG AAG AAC TTG GAG GCT CTG GAG ACC TCC ACA TCC ACC ATC TGC TCA GAC AAA ACC GGA ACC CTC ACC Val-Lys-Asn-Leu-Glu-Ala-Vai-Glu-Thr-Leu-Gly-Ser-Thr-Ser-Thr-Lys-Ser-Asp-Lys-Thr-Gly-Thr-Leu-Thr-
 351- 375
 1141-1215 CAG AAC CGA ATG ACA GTC GCC CAC ATG TGG TTC GAC AAC TAA CAA ATC CAC GAG GCT GAC ACG GAA ATT CAG AGC Gln-Asn-Arg-Met-Thr-Val-Ala-His-Met-Trp-Phe-Asp-Asn-Gln-Ile-His-Glu-Ala-Asp-Thr-Thr-Glu-Asn-Gln-Ser-
 376- 400
 1216-1290 GGT GTC TCA TCC GAC AAC ACT TCG GCC ACC TGG CTT GCT CTG TCC AGA ATT GCA GGT CTT TGT AAC AGG GCA GTG Gly-Val-Ser-Phe-Asp-Lys-Thr-Ser-Ala-Thr-Trp-Leu-Ala-Leu-Ser-Arg-Ile-Ala-Gly-Leu-Cys-Asn-Arg-Ala-Val-
 401- 425
 1291-1365 T'RC CAG GCC AAC CAG GAA AAC C'IA CCT ATC C'IG AAC CGG GCA GTC CGC GCC GAC TCC GAG TCC GCG CTC TTA Phe-Gln-Ala-Asn-Gln-Glu-Ala-Asn-Leu-Pro-Ile-Leu-Lys-Arg-Ala-Val-Ala-Gly-Asp-Ala-Ser-Glu-Ser-Ala-Leu-Leu-
 426- 450
 1366-1440 AAG TGC ATC GAG CTG TCC GAG GAT GAG ATT CCC TTC Lys-Cys-Ile-Glu-Leu-Cys-Cys-Gly-Ser-Val-Lys-Glu-Met-Arg-Glu-Tyr-Thr-Lys-Ile-Val-Glu-Ile-Pro-Phe-
 451- 475
 1441-1515 AAC TCC ACC AAC AAG TAC CAG CTG TCC ATC CAC AAC AAC CCC AAC AAC CAG GTC GAG CCC CGG CAC CTG CTG GTG ATG Asn-Ser-Thr-Asn-Lys-Tyr-Gln-Leu-Ser-Ile-His-Lys-Asn-Pro-Asn-Thr-Ala-Glu-Pro-Arg-His-Leu-Leu-Val-Met-
 476- 500
 1516-1590 AAA GGT GCT CCA GAA AGG ATC CTG GAC CGC TGC ACC TUC ATC CTC ATC CTC ATC CAC GGC AAG GAG CAG CCC CTA GAC GAG Lys-Gly-Ala-Pro-Glu-Ala-Arg-Ile-Leu-Asp-Arg-Cys-Ser-Ser-Ile-Leu-Ile-His-Gly-Lys-Glu-Gln-Pro-Leu-Asp-Glu-
 501- 525
 1591-1665 GAG CTG AAG GAC GCC TTT CAG AAC GCC TAC CTG GAG CTC GGT GGC CTC GGG GAA CGC GTG CTG GGT TTC TGC CAC Glu-Leu-Lys-Asp-Ala-Phe-Gln-Asn-Ala-Tyr-Leu-Glu-Gly-Leu-Gly-Glu-Arg-Val-Leu-Gly-Pho-Cys-His-
 526- 550
 1666-1740 CTT TTC CTG CCG GAC GAG CAG TTC CCC GAA GGC TTC CAG TTT GAC ACC GAC GAT GTG AAT TTC CCT CTC GAT ATT Leu-Phe-Leu-Pro-Asp-Glu-Gln-Phe-Pro-Glu-Gly-Phe-Gln-Phe-Asp-Thr-Asp-Asp-Val-Asn-Phe-Pro-Leu-Asp-Asn-
 551- 575
 1741-1815 CTC TGC TTC GRT GGG CTC ATC TCC ATG ATT GAC CCA CGG CGA GGG GGC GTC CGG GAT GCC GTC GGG AAA TGT CGA Leu-Cys-Phe-Val-Gly-Leu-Ile-Ser-Met-Ile-Asp-Pro-Pro-Arg-Ala-Ala-Val-Pro-Asp-Ala-Val-Gly-Lys-Cys-Arg-
 576- 600
 1816-1890 AGC GCT GGC ATT BAG GTC ATC ATG GTC ACC GGC GAT CAT CCC ATC ACA GCC AAA GCC ATT GCC AAA GGT GTG GGC Ser-Ala-Gly-Ile-Lys-Val-Ile-Met-Val-Thr-Gly-Asp-His-Pro-Ile-Thr-Ala-Lys-Ala-Lys-Gly-Val-Gly-
 601- 625
 1891-1965 ATC ATC TCG GAA GGC AAT GAA ACG GTC GAA GAC ATC GCT GCC CGC CTC AAC ATC CCA GTG AGC CAG GTG AAC CCC Ile-Ile-Ser-Glu-Gly-Asn-Glu-Thr-Val-Glu-Asp-Ile-Ala-Arg-Leu-Asn-Ile-Pro-Val-Ser-Gln-Val-Asn-Pro-
 626- 650
 1966-2040 AGG GAT GCC AAG GCC TGC GTC CAT GGA AGC GAT CTG AAA GAC ATG ACC TCG GAG CAG CTG GAT GAC ATC TTG Arg-Asp-Ala-Lys-Ala-Cys-Val-Val-His-Gly-Ser-Asp-Lys-Asp-Met-Thr-Ser-Glu-Gln-Leu-Asp-Asp-Ile-Leu-
 651- 675
 2041-2115 AAG TAC CAC ACG GAG ATC GTG TTT GCC CCG ACG TCT CCT CAG CAG AAC CTC ATC ATT GTG GAA GGC TGC CAG AGA Lys-Tyr-His-Thr-Glu-Ile-Val-Phe-Ala-Arg-Thr-Ser-Pro-Gln-Gln-Lys-Leu-Ile-Ile-Val-Glu-Gly-Cys-Gln-Arg-
 676- 700

2116-2190	CAG GGC SOC ATC GTG GCC GTG ACT GGC GAC GGT GTC AAT GAC TCA CCC TCC CTC Auu AAU GAA GCA uAC ATC GGG GGT
701- 725	Gln-Gly-Ala-Ile-Val-Ala-Val-Thr-Gly-Asp-Gly-Val-Asn-Asp-Ser-Pro-Ala-Leu-Lys-Lys-Ala-Asp-Ile-Gly-Val-
2191-2265	GCC ATC GCG ATT GCT GGC TCG CAC GPG TCA ANG CAA GCT GCT GAC ATG ATC CTC CTG GAT GAC AAC TTC GCC TCC
726- 750	Ala-Met-Gly-Ile-Ala-Gly-Ser-Asp-Val-Ser-Lys-Gln-Ala-Ala-Asp-Met-Ile-Leu-Asp-Asp-Ash-Phe-Ala-Ser-
2266-2340	ATT GTG NCG GCA GTC GAG GAA GGT CGT CTG ATC ATT GAT AAC TIG AAG AAA TCC ATT GCC TAC ACC CTC ACC AGT
751- 775	Ile-Va ³ -Thr-Gly-Val-Glu-Glu-Gly-Arg-Leu-Ile-Phe-Asp-Asn-Lys-Ser-Ile-Ala-Tyr-Thr-Leu-Thr-Ser
2341-2415	AAC ATT CCA GAG STM ACC CCC TTC CTG ATA ATT GCT GCG AAC ATT CCA CTG CCC CTG GGC ACC GTC ACC ATC
776- 800	Aen-Ile-Pro-Glu-Ile-Thr-Pro-Phe-Leu-Ile-Phe-Asn-Ile-Pro-Leu-Gly-Thr-Val-Thr-Ile-
2416-2490	CTC TGC ATC GAC TIG GGC ACA GAC ATG ATT CCT GCC ATC TCC CTG GCG TAT GAG CAG GCG GAG GAC ATC ATG
801- 825	Leu-Cys-Ile-Asp-Leu-Gly-Thr-Asp-Met-Val-Pro-Ala-Ile-Ser-Leu-Ala-Tyr-Glu-Gln-Ala-Glu-Ser-Asp-Ile-Met-
2491-2565	AAG AGG CAG CCC CAG AAC CCC AAG ACA GAC AAA CTC GTC AAT GAG CAG CTC ATC AGC ATG GCC TAC GGA CAG ATA
826- 850	Lys-Arg-Gin-Pro-Arg-Asn-Pro-Lys-Thr-Asp-Lys-Leu-Val-Asn-Pro-Ser-Tyr-Gly-Gln-Gln-Tyr-Gly-Gln-Ile-
2566-2640	GGT RTG ATC CAG GGC CTG GGC GGC TIC TIC ACT TAC TTY GTG ATC CTG GCT GAG AAC GGC TIC CTC CCG ATT CAC
851- 875	Gly-Met-Ile-Gln-Ala-Leu-Gly-Gly-Phe-Asp-Thr-Tyr-Phe-Val-Ile-Leu-Ala-Glu-Asn-Gly-Phe-Leu-Pro-Ile-His-
2641-2715	CTG CTG GGC CTC CGG AAC TGG GAT GAC CGC TGC TGC AAC GAC GTG GAG GAC AGC TAC GGG CAG CAG TGG ACC
876- 900	Leu-Leu-Gly-Leu-Arg-Val-Asn-Try-Asp-Asp-Arg-Try-Ile-Asn-Asp-Val-Glu-Asp-Ser-Tyr-Gly-Gln-Gln-Trp-Thr-
2716-2790	TAC GAA CAG AGG ATC GTG GAG ATC GTG TIC ACC TGC CAC ACG GCC TTC ATT GTC AGC ATUC GTG GTG CAG TGG GCC
901- 925	Tyr-Glu-Gln-Arg-Lys-Ile-Val-Glu-Phe-Thr-Cys-His-Thr-Ala-Phe-Phe-Val-Ser-Ile-Val-Val-Gln-Trp-Ala-
2791-1865	GAC TTG GTC ATC TCC AAG ACC CGG AGG ATT TCC GTC TIC CAG CAG GGG ATG AAG AAC AAA ATC TTT ATC TTT GGC
926- 950	Asp-Leu-Val-Ile-Cys-Lys-Thr-Arg-Arg-Asn-Ser-Val-Phe-Gln-Gln-Gly-Met-Lys-Asn-Lys-Ile-Leu-Ile-Phe-Gly-
2866-2940	CTC TTC GAA GAG ACG GCC CTG GCT GCT TIC CTC TCC TAC TGC CCC GGA ATG GGC GNG AGG ATG TAC CCC
951- 975	Leu-Phe-Glu-Glu-Thr-Ala-Lys-Ala-Ala-Phe-Leu-Ser-Tyr-Cys-Pro-Gly-Met-Gly-Val-Ala-Lys-Arg-Met-Tyr-Pro-
2941-3015	CTC AAA CCT ACC TGG TGG TIC TGT GCC TTC CCC TAC TCG CTC CTC ATC ATC GTC TAT GAC GAA GTC AGG AAG CTC
976-1000	Leu-Lys-Pro-Met-Trp-Trp-Phe-Cys-Ala-Phe-Pro-Tyr-Ser-Leu-Lys-Asp-Glu-Val-Tyr-Asp-Glu-Lys-Leu-
3016-3066	ATC ATC AGG CGA CGC CCT GGC GGC TGG GAG RAG GAA ACC TAC TAC TAG ACCCCCTCCGACGGCG
1001-1016	Ile-Ile-Arg-Arg-Arg-Pro-Gly-Trp-Val-Glu-Lys-Glu-Thr-Tyr-Tyr

Рис. 2. Нуклеотидная последовательность кодирующей цепи кДНК и аминокислотные последовательности α-субъединицы №⁴, K⁺ATP-азы. Подчеркнуты аминокислотные последовательности, структура которых установлена методами белковой химии

и использованных для дополнительного скрининга библиотек кДНК, соответствуют (787–803) и (2833–2849).

Все пептиды, выделенные при гидролизе α -субъединицы, структура которых была определена пептидным анализом, были найдены в последовательности кДНК в одной и той же рамке считывания. Сайт инициации трансляции был отнесен к кодону ATG с координатами (–15–13). Это предполагает, что первоначальный продукт трансляции гена α -субъединицы на пять аминокислот длиннее зрелого белка, N-концевая последовательность которого известна как Cly-Arg-Asp-Lys-Tyr.

Первый термиаторный кодон расположен на расстоянии 3063 п.о. от инициаторного кодона. Аминокислотная последовательность, предшествующая термиатору (TAG), полностью соответствует структуре одного из триптических пептидов белка, что свидетельствует об отсутствии процессинга в C-концевой области полипептидной цепи.

Таким образом, полная нуклеотидная последовательность структурной части гена α -субъединицы Na^+ , K^+ -АТР-азы свиньи составляет 3063 п.о., и ген кодирует зрелый белок, состоящий из 1016 аминокислотных остатков.

Экспериментальная часть

В работе использовали: трип, формамид, ацетат натрия (Merck, ФРГ), EDTA, MgCl_2 , β -меркаптоэтанол (Sigma, США); додецилсульфат натрия, акриламид, N,N-метиленбисакриламид, персульфат аммония, TEMED (Bio-Rad, США); дезоксикулеозидтрифосфаты, дидеоксиинуклеозидтрифосфаты, тРНК (Boehringer, ФРГ), [γ - ^{32}P]АТР (уд. акт. > 5000 Ки/ммоль; Amersham, Англия), агарозу, лизоцим, бромид этидия (Sigma, США); нитроцеллюлозные фильтры ВА 85 (Schleicher und Schüll, ФРГ), ватман ЗММ (Whatmann, Англия); ферменты – рестриктазы (Boehringer, ФРГ), ДНК-лигазу; щелочную фосфатазу, полинуклеотидкиназу, фрагмент Кленова (выделены А. В. Честухиным, ИБХ АН СССР). Остальные соли и растворители производства «Союзреактив».

Плазмидную ДНК выделяли по методу Бирнбайма и Доли [3].

Гибридизацию ДНК клонов с олигонуклеотидными зондами проводили по методике, описанной ранее [1].

Для субклонирования использовали векторы M13mp18 и M13mp19. Использование данной пары векторов продиктовано необходимостью секвенирования обеих цепей субклонированных фрагментов ДНК, содержащих различные сайты рестрикции на концах вставки. Такая ситуация возникала при субклонировании концевых фрагментов, когда с одного конца был сайт *PstI*, а с другого – сайт одной из рестриктаз полилинкерного участка вектора. Условия субклонирования описаны ранее [4].

Отличие использованной в работе модифицированной методики секвенирования [5] от классического метода Сенгера [4] заключается в том, что синтез новой цепи происходит без меченого дезоксикулеозидтрифосфата, а радиоактивная метка вводится в 5'-конец универсального праймера с помощью полинуклеотидкиназы и [γ - ^{32}P]АТР.

При отжиге 1,5–2 мкг матричной ДНК смешивали с 2–3 пмоль мечевого праймера (конечный объем реакционной смеси составлял 10 мкл), выдерживали 3 мин при 70° С, а затем медленно охлаждали до комнатной температуры. Для реакции полимеразного копирования к 2 мкл фаговой ДНК с отожженным праймером добавляли 2 мкл смеси dNTP/ddNTP и 1 мкл (1 ед. акт.) фрагмента Кленова ДНК полимеразы I и инкубировали 20 мин при 37° С. После добавления 3 мкл смеси красителей с формамидом реакционную смесь денатурировали 20 мин при 80° С и наносили на денатурирующий полiacриламидный гель, как описано ранее [7]. Электрофорез проводили при 25 mA и 50° С. После перенесения на бумагу и высушивания гель экспонировали 6–15 ч с рентгеновской пленкой РМ-В.

Авторы выражают искреннюю благодарность Ю. А. Овчинникову и Е. Д. Свердлову за постоянное внимание и поддержку в работе.

ЛИТЕРАТУРА

1. Петрухин К. Е., Броуде Н. Е., Арсенян С. Г., Гришин А. В., Джанджугазян К. Н., Модянов Н. Н. Биоорганс. химия, 1985, т. 11, № 12, с. 1607–1613.
2. Арзамазова Н. А., Аристархова Е. А., Шафиева Г. И., Назимов И. В., Алданова Н. А., Модянов Н. Н. Биоорганс. химия, 1985, т. 11, № 12, с. 1598–1606.
3. Birnboim H., Doly J. Nucl. Acid Res., 1979, v. 7, p. 1513–1522.
4. Sanger F., Nicklen S., Coulson A. R. Proc. Nat. Acad. Sci. USA, 1977, v. 74, p. 5463–5767.
5. McGraw R. A. Anal. Biochem., 1984, v. 143, № 2, p. 298–303.

6. Овчинников Ю. А., Монастырская Г. С., Арсенян С. Г., Броуде Н. Е., Петрухин К. Е., Гришин А. В., Арзамазова Н. М., Северцова И. В., Модянов Н. Н. Докл. АН СССР, 1985, т. 283, № 5, с. 1278–1280.
7. Garoff H., Ansorge W. Anal. Biochem., 1981, v. 115, p. 450–457.

Поступила в редакцию
25.VII.1986

THE PRIMARY STRUCTURE OF THE α -SUBUNIT OF Na^+ , K^+ -ATPase.
III. THE COMPLETE NUCLEOTIDE SEQUENCE CORRESPONDING TO THE
CODING PART OF THE GENE

MONASTYRSKAYA G. S., BROUDE N. E., MELKOV A. M., SMIRNOV Yu. V.,
MALYSHEV I. V., ARSENYAN S. G., SALOMATINA I. S., SVERDLOV V. E.,
GRISHIN A. V., PETRUKHIN K. E., MODYANOV N. N.

*M. M. Shemyakin Institute of Bioorganic Chemistry, Academy
of Sciences of the USSR, Moscow*

The nucleotide sequence of the cDNA, containing coding region of the α -subunit of the pig kidney Na^+ , K^+ -ATPase, was determined. The region contains 3063 b.p. coding for 1021 amino acid residues. In the course of processing, five amino acid residues are cleaved to yield the mature Na^+ , K^+ -ATPase α -subunit containing 1016 amino acid residues.